

Metodi di Monte Carlo Applicati Alla Computer Grafica

Presentata da: Tanzi Alessio

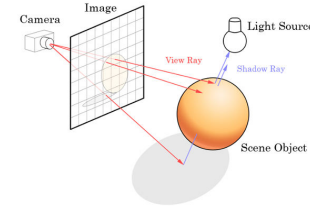
Relatore: Prof.ssa Marina Popolizio

Politecnico di Bari, Anno Accademico 2022/2023



1 / 18

Introduzione



Stima della funzione immagine $r_f(x, y)$ attraverso Path Tracing.

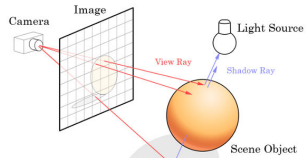


2 / 18

- Calcolo della Funzione Immagine

$$r_f(x, y) = \int_{A_{px}} r(x', y') dA$$

Introduzione



Stima della funzione immagine $r_f(x, y)$ attraverso Path Tracing.

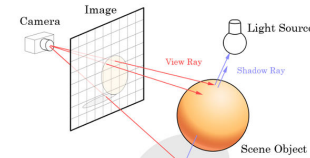
- Calcolo della Funzione Immagine
- Attraverso il suo campionamento

$$r_f(x, y) = \int_{A_{px}} f(x - x', y - y') r(x', y') dA$$



2 / 18

Introduzione



Stima della funzione immagine $r_f(x, y)$ attraverso Path Tracing.

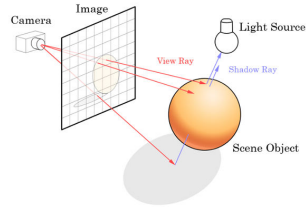


2 / 18

- Calcolo della Funzione Immagine
- Attraverso il suo campionamento
- Approssimazione con MC

$$r_f(x, y) \approx \frac{\|A_{px}\|}{n} \sum_{i=1}^n f(x - x_i, y - y_i) r(x_i, y_i)$$

Introduzione



Stima della funzione immagine $r_f(x, y)$ attraverso Path Tracing.

Path Tracing

Input: scena σ , risoluzione richiesta (w, h) , camera c

Output: funzione immagine filtrata $r_f(x, y)$

```
 $r_f \leftarrow \text{Array}(w, h);$   
for each pixel  $(x, y)$  in  $r_f$  do  
   $ss \leftarrow \text{GenerateSamplesWithinPixel}(x, y);$   
  for each sample  $(\vec{s})$  in  $ss.positions$  do  
     $\rho \leftarrow \text{CastRay}(c, \vec{p}, \frac{\vec{s} - c.p}{\|\vec{s} - c.p\|});$   
     $ss.contributions(\vec{s}) \leftarrow \text{SampleRadiance}(\sigma, \rho, \text{depth} = 0);$   
  end for  
   $r_f(x, y) \leftarrow \text{Aggregate}(ss.contributions);$   
end for
```



2 / 18

Indice

- 1 Monte Carlo Integration
- 2 Rendering Fundamentals
- 3 Campionamento e Ricostruzione
- 4 Simulazione



3 / 18

Indice: Monte Carlo Integration

- 1 Monte Carlo Integration
- 2 Rendering Fundamentals
- 3 Campionamento e Ricostruzione
- 4 Simulazione



4 / 18

Preliminari

Probabilità $\Pr(A)$: Funzione definita su un dominio Σ avente immagine $[0, 1]$.

Variabile Casuale X : Formalizzazione matematica di quantità numerica dipendente da eventi aleatori.

Caratterizzata univocamente da

CDF: $P(x) = \Pr(X \leq x)$

PDF: $p(x) = \frac{d}{dx}P(x)$



5 / 18

Preliminari

Stimatore \tilde{F}_n : funzione di una collezione di variabili aleatorie X_i , n campioni, mappati ad una stima di uno stimando F

Aspettazione : $E[f(X)] = \int_{\mathcal{D}} f(x)p(x)dx$

Varianza : $V[f(X)] = E[(f(X) - E[f(X)])^2]$

Bias : $\beta = E[\tilde{F}_n(X_1, \dots, X_n)] - F$

Efficienza : $\epsilon[\tilde{F}_n] = \frac{1}{T[\tilde{F}_n] V[\tilde{F}_n]}$

MSE : $MSE[\tilde{F}_n] = E[(\tilde{F}_n - F)^2] = V[\tilde{F}_n] + \beta^2$



5/18

Integrazione di Monte Carlo

Stimatore Unbiased per l'Integrazione Monte Carlo

$$\tilde{F}_n = \|\mathcal{D}\| \tilde{E}_n[f(X)] = \frac{1}{n} \sum_{i=1}^n \frac{f(X_i)}{p(x)}$$

Il campionamento secondo PDF $p(x)$ permette di scegliere accuratamente i campioni più significativi (*Importance Sampling*)



6/18

Integrazione di Monte Carlo

Stimatore Unbiased per l'Integrazione Monte Carlo

$$\tilde{F}_n = \|\mathcal{D}\| \tilde{E}_n[f(X)] = \frac{\|\mathcal{D}\|}{n} \sum_{i=1}^n f(X_i)$$

(Campionamento $\mathcal{U}(\mathcal{D})$)



6/18

Integrazione di Monte Carlo

$$\tilde{F}_n = \|\mathcal{D}\| \tilde{E}_n[f(X)] = \frac{\|\mathcal{D}\|}{n} \sum_{i=1}^n f(X_i)$$

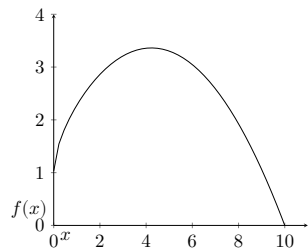
Per n campioni, la deviazione standard diminuisce di \sqrt{n}

$$\sigma[\tilde{F}_n] = \sqrt{V[\tilde{F}_n]} = \sqrt{\frac{\|\mathcal{D}\|^2}{n} V[f(X)]} = \frac{\|\mathcal{D}\|}{n^{\frac{1}{2}}} \sigma[f(X)]$$



6/18

Esempio: Integrale monodimensionale



è possibile giungere alla soluzione analitica

$$F = \frac{10e^\pi + 10}{\pi^2} \approx 24.45963551499059$$

Possiamo applicare il Metodo di Monte Carlo

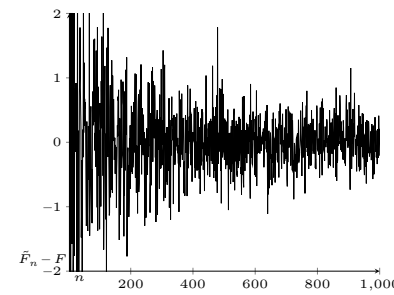
$$\tilde{F}_n = \mathcal{D} \|\tilde{E}_n[f(X)] = \frac{10}{n} \sum_{i=1}^n f(X_i)$$

Campionando uniformemente $[0, 10]$

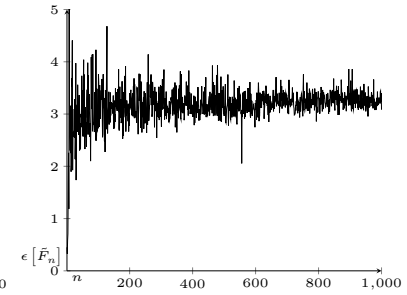
$$\int_0^{10} \frac{\sin\left(\sqrt{\frac{\pi^2}{10}x}\right)}{\sqrt{\frac{\pi^2}{10}x}} e^{\sqrt{\frac{\pi^2}{10}x}} dx$$

7/18

Esempio: Integrale monodimensionale



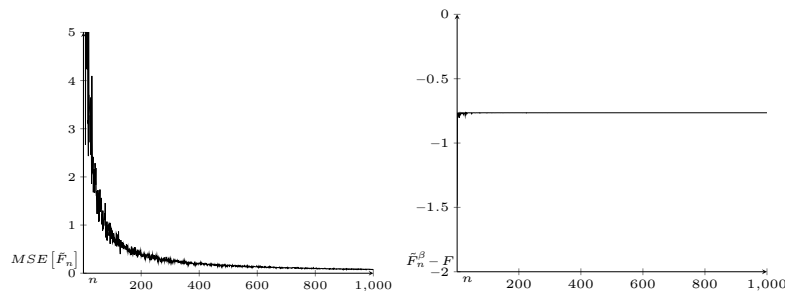
(a) Funzione Errore per \tilde{F}_n



(b) Funzione efficienza $\epsilon[\tilde{F}_n]$

7/18

Esempio: Integrale monodimensionale



(a) $MSE[\tilde{F}_n]$ dello stimatore unbiased (b) Funzione errore per stimatore biased
 $\tilde{F}_n^\beta = \frac{1}{2} \max\{f(X_1), \dots\}$

7/18

Metodi di Riduzione della Varianza

Stratified Sampling: Suddivisione del dominio di integrazione in n regioni chiamate *strata*

Importance Sampling: Concentra i punti campionati per la stima dell'integrale utilizzando PDF proporzionale alla funzione integranda, per catturarne più rapidamente i contributi più significativi

Russian Roulette: Salta la valutazione di campioni che contribuiscono poco

Splitting: Aumenta il numero di campioni in alcune dimensioni di un integrale multidimensionale

8/18

Indice: Rendering Fundamentals

- 1 Monte Carlo Integration
- 2 **Rendering Fundamentals**
- 3 Campionamento e Ricostruzione
- 4 Simulazione



9 / 18

Radiometria

Modello matematico per studiare e misurare la propagazione delle radiazioni elettromagnetiche con la sola ottica geometrica.

- Linearità
- Conservazione dell'energia
- No polarizzazione
- No fluorescenza o fosforescenza
- A regime



10 / 18

Radiometria

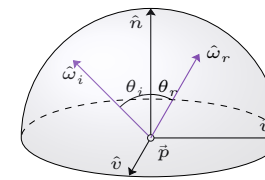
| Quantità | Simbolo | unità S.I. | Formula |
|--------------------|----------------|--------------------------|---|
| Energia Radiante | Q_e | J | $Q_{e,\lambda} = \frac{\partial Q_e}{\partial \lambda}$ |
| Flusso Radiante | Φ_e | W | $\Phi_e = \frac{\partial Q_e}{\partial t}$ |
| Intensità Radiante | $I_{e,\Omega}$ | W/sr | $I_{e,\Omega} = \frac{\partial \Phi_e}{\partial \Omega}$ |
| Irradianza | E_e | | |
| Emittanza Radiante | M_e | W/m ² | $E_e J_e M_e = \frac{\partial \Phi_e}{\partial A}$ |
| Radiosità | J_e | | |
| Radianza | $L_{e,\Omega}$ | W/(sr · m ²) | $L_{e,\Omega} = \frac{\partial^2 \Phi_e}{\partial \Omega \partial (A \cos \theta)}$ |

nomenclatura e misure delle quantità radiometriche per noi rilevanti

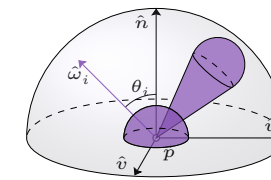


10 / 18

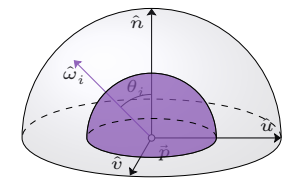
Rendering Equation



(a) Specular BRDF



(b) Glossy BRDF



(c) Diffuse BRDF

$$L_o(\vec{p}, \hat{\omega}_o) = L_e(\vec{p}, \hat{\omega}_o) + \int_{S^2} L_o(t(\vec{p}, \hat{\omega}_i), -\hat{\omega}_i) f_s(\vec{p}, \hat{\omega}_o, \hat{\omega}_i) |\langle \hat{n}, \hat{\omega}_i \rangle| d\hat{\omega}_i$$



11 / 18

Rendering Equation

$$L_o(\vec{p}, \hat{\omega}_o) = L_e(\vec{p}, \hat{\omega}_o) + \int_{S^2} L_o(t(\vec{p}, \hat{\omega}_i), -\hat{\omega}_i) f_s(\vec{p}, \hat{\omega}_o, \hat{\omega}_i) |\langle \hat{n}, \hat{\omega}_i \rangle| d\hat{\omega}_i$$

- $\vec{p}, \hat{\omega}_i, \hat{\omega}_o$ risp. punto superficie considerato, direzione incidente considerata, direzione uscente
- $t(\vec{p}, \hat{\omega}_i)$ *Ray Tracing Function*: dati punto di partenza e direzione, restituisce un punto \vec{q} , prima intersezione incontrata
- S^2 sfera unitaria di centro \vec{p}
- \int_{S^2} Integrale in tutte le direzioni $\hat{\omega}_i$



11 / 18

BSDF

Densità di Distribuzione¹ di radianza incidente riflessa (BRDF f_r) o trasmessa (BTDF f_t) in una data direzione

$$f_s(\vec{p}, \hat{\omega}_o, \hat{\omega}_i) = f_r(\vec{p}, \hat{\omega}_o, \hat{\omega}_i) + f_t(\vec{p}, \hat{\omega}_o, \hat{\omega}_i)$$

dove

$$f_r(\vec{p}, \hat{\omega}_o, \hat{\omega}_i) = 0, \text{ se } \langle \hat{n}, \hat{\omega}_o \rangle \langle \hat{n}, \hat{\omega}_i \rangle \leq 0$$

$$f_t(\vec{p}, \hat{\omega}_o, \hat{\omega}_i) = 0, \text{ se } \langle \hat{n}, \hat{\omega}_o \rangle \langle \hat{n}, \hat{\omega}_i \rangle \geq 0$$

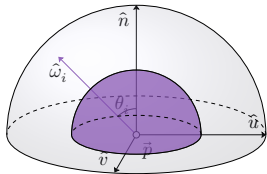
¹Non normalizzata, con integrale su emisfera proiettata pari all'albedo della superficie



12 / 18

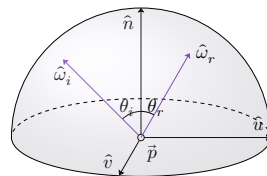
BSDF

Lambertian BRDF:



$$f_r(\vec{p}) = \frac{\rho(\vec{p})}{\pi}$$

Perfectly Specular BRDF:



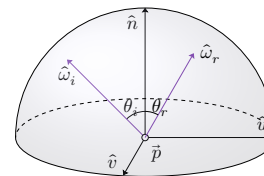
$$f_r(\vec{p}, \hat{\omega}_o, \hat{\omega}_i) = F_r(\langle \hat{n}, \hat{\omega}_o \rangle) \frac{\delta(\hat{\omega}_i - \hat{\omega}_r)}{|\langle \hat{n}, \hat{\omega}_i \rangle|}$$



12 / 18

BSDF

Perfectly Specular BRDF:



$$F_r(\mu) \approx F_0 + (1 - F_0)(1 - \mu)^5$$

$$F_0 = \frac{(\eta - 1)^2 + \kappa^2}{(\eta + 1)^2 + \kappa^2} \stackrel{\kappa \approx 0}{=} \left(\frac{\eta - 1}{\eta + 1} \right)^2$$

$$\hat{\omega}_r = 2\langle \hat{n}, \hat{\omega}_i \rangle \hat{n} - \hat{\omega}_i$$

$$f_r(\vec{p}, \hat{\omega}_o, \hat{\omega}_i) = F_r(\langle \hat{n}, \hat{\omega}_o \rangle) \frac{\delta(\hat{\omega}_i - \hat{\omega}_r)}{|\langle \hat{n}, \hat{\omega}_i \rangle|}$$



12 / 18

Indice: Campionamento e Ricostruzione

- 1 Monte Carlo Integration
- 2 Rendering Fundamentals
- 3 **Campionamento e Ricostruzione**
- 4 Simulazione



13 / 18

Campionamento

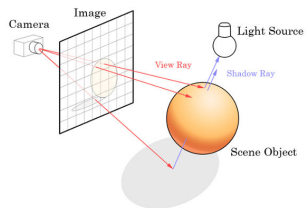
Affichè si sfruttino al meglio i campioni estratti per lo Stimatore di Monte Carlo

- Riduzione della Varianza per lo stimatore di Monte Carlo tramite scelta accurata della distribuzione dei campioni...
- ...Con conseguente bisogno di algoritmi capaci di estrarre osservazioni da una distribuzione arbitraria, dati campioni distribuiti uniformemente in $\mathcal{U}(0, 1)$



14 / 18

Campionamento



Stima della funzione immagine $r_f(x, y)$ attraverso Path Tracing.

In un sistema di rendering,

- Ciascun pixel è campionato generando raggi e accumulando radianza in ciascuno di essi
- Ogni superficie intersecata da ciascun raggio è campionata per generare un nuovo raggio



14 / 18

Campionamento

Variance Reduction

Stratified Sampling
Importance Sampling
Russian Roulette
Splitting

PDF Sampling

Inverse Transform Sampling
Acceptance-Rejection Sampling
Metropolis-Hastings Sampling

Inverse Transform Sampling Lambertian BRDF
($\xi_\theta, \xi_\varphi \sim \mathcal{U}(0, 1)$)

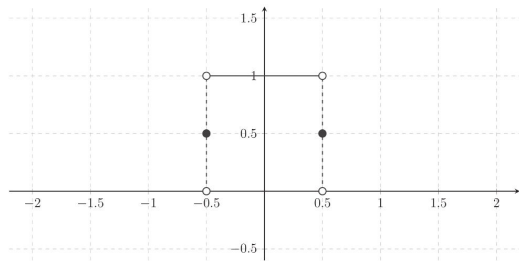
$$\varphi_i = 2\pi\xi_\varphi$$

$$\theta_i = \arccos\left(\sqrt{1 - \xi_\theta}\right)$$



14 / 18

Filtro di Ricostruzione



Ricostruzione della funzione immagine dai suoi campioni.
Box Filter: considera solamente campioni all'interno del pixel considerato, aggregati come spiegato nell'Introduzione



15/18

Indice: Simulazione

- 1 Monte Carlo Integration
- 2 Rendering Fundamentals
- 3 Campionamento e Ricostruzione
- 4 **Simulazione**

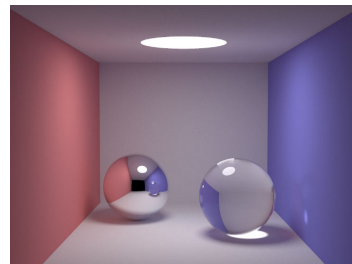


16/18

Simulazione: Cornell Box

Path Tracer semplificato, supportante

- Tre tipi di BRDF, in particolare Lambertiana, Speculare opaca o traslucida
- Russian Roulette, applicata per terminare la valutazione di una path
- Stratified Sampling, dividendo ciascun pixel in 4 caselle (strata)
- Ciascun sample in ciascun strata è scelto casualmente con PDF triangolare

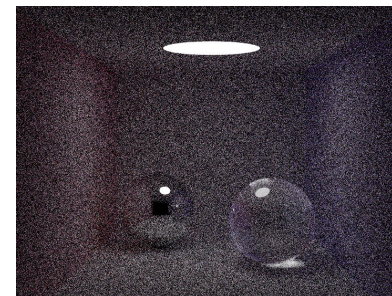


Scena Cornell Box.

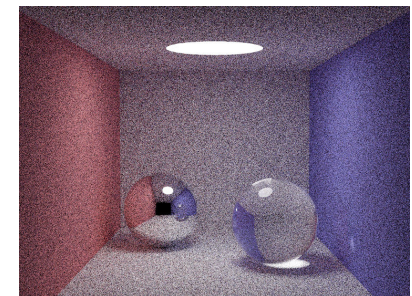


17/18

Risultati Simulazione



(a) 8 campioni per stratum



(b) 40 campioni per stratum



18/18

Risultati Simulazione

| Componente analizzata | Varianza trovata | |
|------------------------|------------------------|-------------------------|
| | 8 campioni per stratum | 40 campioni per stratum |
| Red Channel | 0.07344142 | 0.05132978 |
| Green Channel | 0.06190188 | 0.04714374 |
| Blue Channel | 0.07339846 | 0.05175589 |
| Luminance ¹ | 0.06380390 | 0.04621717 |

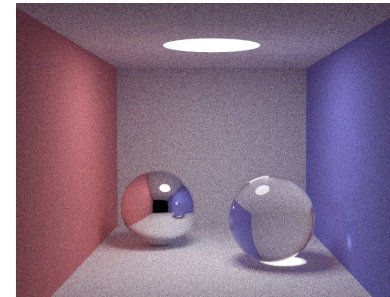
Tabella delle varianze per la resa con 8 campioni per stratum e 40 campioni per stratum

¹Più precisamente, Luma channel del color space ITU-R BT.709

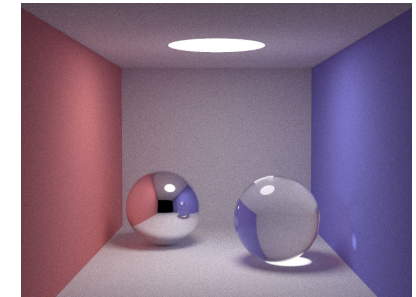


18/18

Risultati Simulazione



(a) 200 campioni per stratum



(b) 1000 campioni per stratum



18/18

Risultati Simulazione

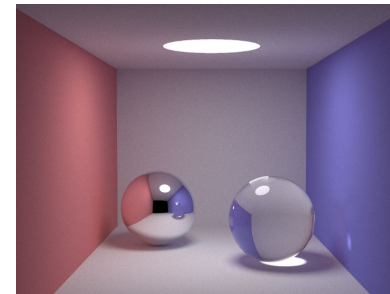
| Componente analizzata | Varianza trovata | |
|-----------------------|--------------------------|---------------------------|
| | 200 campioni per stratum | 1000 campioni per stratum |
| Red Channel | 0.02482136 | 0.02023584 |
| Green Channel | 0.02453323 | 0.02019825 |
| Blue Channel | 0.02517796 | 0.02031221 |
| Luminance | 0.02276842 | 0.01840096 |

Tabella delle varianze per la resa con 200 campioni per stratum e 1000 campioni per stratum

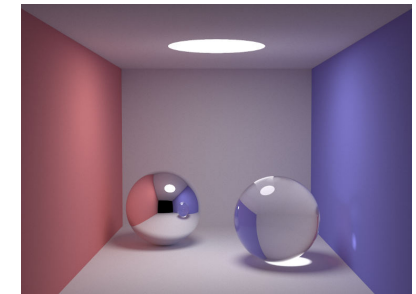


18/18

Risultati Simulazione



(a) 5k campioni per stratum



(b) 25k campioni per stratum



18/18

Risultati Simulazione

| Componente analizzata | Varianza trovata | |
|-----------------------|---------------------------|----------------------------|
| | 5000 campioni per stratum | 25000 campioni per stratum |
| Red Channel | 0.01904086 | 0.01885027 |
| Green Channel | 0.01936775 | 0.01919554 |
| Blue Channel | 0.01930308 | 0.01911878 |
| Luminance | 0.01754279 | 0.01737635 |

Tabella delle varianze per la resa con 5000 campioni per stratum e 25000 campioni per stratum

